

# О недооценке величины запрещенной щели в электронных спектрах La<sub>2</sub>CuO<sub>4</sub>

© П.В. Аврамов, С.Г. Овчинников

Институт физики им. Л.В. Киренского Сибирского отделения Российской академии наук,  
660036 Красноярск, Россия

(Поступила в Редакцию 2 октября 1996 г.)

Показано, что величина запрещенной щели, получаемая при совместном анализе на одной энергетической шкале экспериментальных фотоэлектронных спектров и спектров обращенной фотоэмиссии поверхности La<sub>2</sub>CuO<sub>4</sub>, занижена на 1 eV. Электронная и сателлитная структуры спектров La<sub>2</sub>CuO<sub>4</sub> рассчитывалась в рамках многозонной *p-d*-модели и приближения внезапного возмущения. Было показано, что shake-down-процессы смещают вниз по энергии одноэлектронный контур конечной двухдырочной конфигурации фотоэлектронного спектра на 1 eV, а одноэлектронный контур конечной *d*<sup>10</sup>-конфигурации спектра обращенной фотоэмиссии — на 2 eV, что и приводит к недооценке энергетического расщепления между заполненной и вакантной зонами.

Электронная спектроскопия является одной из самых информативных экспериментальных методик, применяемых для исследования плотностей валентных электронных состояний поверхности твердых тел. Суть метода фотоэлектронной спектроскопии (PES), изучающей занятые состояния, заключается в том, что образец облучается монохроматическим ультрафиолетовым или рентгеновским излучением, которое ионизует валентную оболочку, выбивая из нее фотоэлектроны, кинетическая энергия которых затем измеряется в ходе эксперимента. Этот метод является чувствительным к особенностям электронной структуры поверхности, так как фиксируемые фотоэлектроны принадлежат к приповерхностным атомным слоям.

Вакантные электронные состояния изучаются методом обращенной фотоэмиссии (IPES). В этом случае образец облучается монохроматическим пучком электронов, которые садятся на вакантные электронные состояния с излучением электромагнитных квантов, регистрируемых в ходе эксперимента. Глубина проникновения возбуждающего электронного пучка также невелика, поэтому IPES-спектры несут информацию прежде всего об электронной структуре приповерхностных слоев.

В случае если электронная структура поверхности исследуемого объекта имеет запрещенную щель, то между фотоэлектронным спектром и спектром обращенной фотоэмиссии, построенными в одной энергетической шкале, должно наблюдаться энергетическое расщепление.

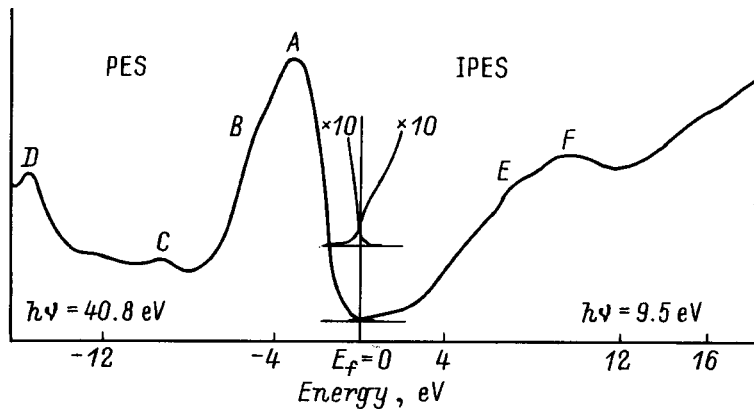
Характерной особенностью электронной структуры медьюсодержащих ВТСП-материалов является наличие запрещенной щели. Наиболее естественно этот эффект описывается в моделях типа Андерсона и Хаббарда [1–3]. Однако расщепление между экспериментальными электронными спектрами поверхности La<sub>2</sub>CuO<sub>4</sub> настолько слабо выражено, что в принципе может интерпретироваться и как отсутствие

диэлектрической щели (см., например, [4]). Так, на рисунке представлены типичные экспериментальные [4] фотоэлектронный спектр и спектр обращенной фотоэмиссии La<sub>2</sub>CuO<sub>4</sub>. На этом рисунке отсутствует явно выраженная диэлектрическая щель.

В многоэлектронном подходе гамильтониан многозонной *p-d*-модели, описывающий валентные состояния меди и кислорода, может быть записан в дырочном представлении [1–3]

$$\begin{aligned} H &= H_d + H_p + H_{pp} + H_{pd}, \\ H_d &= \sum_r H_d(r), \\ H_d(r) &= \sum_{\lambda\sigma} [(\varepsilon_{d\lambda} - \mu)d_{r\lambda\sigma}^+ d_{r\lambda\sigma} + (1/2)U_d n_{r\lambda}^\sigma n_{r\lambda}^{-\sigma}] \\ &\quad + \sum_{\sigma\sigma'} (V_d n_{r1}^\sigma n_{r2}^{\sigma'} - J_d d_{r1\sigma}^+ d_{r1\sigma'} d_{r2\sigma'}^+ d_{r2\sigma}), \\ H_p &= \sum_i H_p(i), \\ H_p(i) &= \sum_{\alpha\sigma} [(\varepsilon_{p\alpha} - \mu)p_{i\alpha\sigma}^+ p_{i\alpha\sigma} + (1/2)U_p n_{i\alpha}^\sigma n_{i\alpha}^{-\sigma}] \\ &\quad + \sum_{\sigma\sigma'} (V_p n_{i1}^{\sigma'} n_{i2}^{\sigma'} - J_p p_{i1\sigma}^+ p_{i1\sigma'} p_{i2\sigma'}^+ p_{i2\sigma}), \\ H_{pd}(i) &= \sum_{\alpha\lambda\sigma} (T_{\lambda\alpha} p_{i\alpha\sigma}^+ d_{r\lambda\sigma} + \text{h.c.}) \\ &\quad + V_{\lambda\alpha} n_{r\lambda}^\sigma n_{i\alpha}^{\sigma'} - J_{\lambda\alpha} d_{r\lambda\alpha}^+ d_{r\lambda\sigma'} p_{i\alpha\sigma'}^+ p_{i\alpha\sigma}), \\ H_{pp} &= \sum_{i,j} \sum_{\alpha\beta\sigma} (t_{\alpha\beta} p_{i\alpha\sigma}^+ p_{j\beta\sigma} + \text{h.c.}), \end{aligned} \tag{1}$$

где  $\varepsilon_{p\alpha}$  и  $\varepsilon_{d\lambda}$  — одночастичные энергии *p*- и *d*-дырочных орбиталей  $\alpha$  и  $\lambda$  соответственно,  $U_p$ ,  $U_d$ ,  $V_p$ ,  $V_d$  —



Экспериментальные [4] фотоэлектронный спектр, измененный при  $h\nu = 40.8$  eV, и спектр обращенной фотоэмиссии, измеренный при  $h\nu = 9.5$  eV, соединения  $\text{La}_2\text{CuO}_4$ . Оба спектра нормализованы по интенсивности на уровне Ферми (см. вставку  $10 \times 10$ ).

матричные элементы межатомного кулоновского отталкивания на одних и тех же и различных орбиталах кислорода и меди,  $J_p$ ,  $J_d$  — обменные хундовские интегралы на атомах кислорода и меди,  $T_{\lambda\alpha}$  и  $t_{\lambda\alpha}$  — матричные элементы  $p-d$ - и  $p-p$ -перескоков между ближайшими соседями,  $V_{\lambda\alpha}$  и  $J_{\lambda\alpha}$  — матричные элементы кулоновского и обменного взаимодействий между ближайшими соседями меди–кислород,  $\mu$  — химический потенциал, вычисляемый самосогласованно и находящийся внутри диэлектрической щели для недопированной системы. Мы учитывали  $d_{x^2-y^2}$ - и  $d_{z^2}$ -орбитали меди, а также  $p_x$ - и  $p_y$ -орбитали для всех атомов кислорода. Энергия  $D_{x^2-y^2}$ -орбитали выбиралась равной  $\varepsilon_d$ , тогда как энергия  $d_{z^2}$ -орбитали — равной  $\varepsilon_d + \Delta_d$ . Энергия  $p_{x,y}$ -орбиталей считалась равной  $\varepsilon_p$ .

Параметры гамильтониана (1) мы рассматривали как эмпирические, они были определены при сопоставлении электронной структуры основного состояния  $\text{La}_2\text{CuO}_4$  с оптическими и магнитными данными [5]:  $U_p = U_d = \infty$ ,  $V_p = 3$  eV и  $V_d = 4.5$  eV;  $J_p = J_d = 0.5$  eV,  $T_{\lambda\alpha} 1.5$  eV и  $t_{\lambda\alpha} = 0.2$  eV,  $V_{\lambda\alpha} = 0.6$  eV и  $J_{\lambda\alpha} = 0.2$  eV,  $\varepsilon_d = 0$ ,  $\Delta_d = 1.5$  eV,  $\varepsilon_p = 2$  eV.

Энергии и веса конфигураций определялись методом точной диагонализации  $\text{CuO}_4$ -кластера с одной или двумя вакансиями. Собственные состояния в однодырочном секторе (формально  $\text{Cu}d^9$ -состояние) всегда являются смесью конфигураций  $d^9$  и  $d^{10}L$ , а в двухдырочном (формально  $\text{Cu}d^8$ -состояние) —  $d^8$ ,  $d^9L$  и  $d^{10}LL$ . Более подробно многозонная  $p-d$ -модель, включая описание метода точной диагонализации кластера в конфигурации  $\text{Cu}d^9$ , описана в [5].

В приближении внезапного возмущения [6] волновая функция начального состояния, участвующего в образовании электронного спектра, может быть

записана в виде

$$\Psi_{\text{in}} = \varphi_v^k \Psi_{\text{in},0}^{(pd)}(n_h), \quad (2)$$

а волновая функция конечного состояния — в виде

$$\Psi_f = \varphi_v^h \Psi_{f,m}^{(pd)}(n_h \pm 1), \quad (3)$$

где  $\Psi_{\text{in},0}^{(pd)}(n_h)$  — волновая функция основного состояния системы валентных электронов меди и кислорода с энергией  $E_{\text{in},0}^{(pd)}$ , описываемых гамильтонианом (1) и числом заполнения  $n_h$   $d$ -оболочки меди в основном состоянии, которое равно девяти как для фотоэлектронного спектра, так и для спектра обращенной фотоэмиссии,  $\varphi_v^k$  — одноэлектронная волновая функция за порогом ионизации,  $k$  — число заполнения этого состояния до взаимодействия электронной системы с возбуждающим излучением, равное нулю для фотоэлектронного спектра и единице для спектра обращенной фотоэмиссии,  $\Psi_{f,m}^{(pd)}(n_h \pm 1)$  — волновая функция терма с номером  $m$  системы  $p$ - и  $d$ -электронов в конечном состоянии с энергией  $E_{f,m}^{(pd)}(n_h \pm 1)$ , индекс  $m$  пробегает все возможные состояния гамильтониана (1) с измененным в процессе эксперимента количеством носителей,  $(n_h \pm 1)$  — число заполнения  $d$ -орбитали меди после внешнего воздействия, равное восьми для фотоэлектронного спектра десяти для спектра обращенной фотоэмиссии,  $h$  — число заполнения запорогового состояния после внешнего воздействия, равное единице для фотоэлектронного спектра и нулю для спектра обращенной фотоэмиссии.

Процесс образования фотоэлектронного спектра описывается гамильтонианом

$$H_{x-\text{ray}}^{\text{PES}} = \sum_k r_k d^+ l_k, \quad (4a)$$

где  $r_k = |\langle \varphi_i | \mathbf{e}\mathbf{r} | \varphi_v \rangle|^2$  — одноэлектронный дипольный матричный элемент перехода электрона из валентной одноэлектронной орбиты в область непрерывного

спектра,  $d^+$  — оператор рождения дырки в валентной оболочке,  $l_k$  — оператор уничтожения дырки в непрерывной области.

Процесс образования спектра обращенной фотоэмиссии описывается гамильтонианом

$$H_{x-\text{ray}}^{\text{IPES}} = \sum_k r_k d l_k^+, \quad (4b)$$

где  $r_k$ ,  $d$  и  $l^+$  имеют тот же смысл, что и в формуле (4a).

Тогда вероятность электронного перехода для фотоэлектронного спектра будет равна

$$W_m^{\text{PES}} = |\langle \Psi_{\text{in}} | \mathbf{e} \mathbf{r} | \Psi_f^{(m)} \rangle|^2 = |\langle \varphi_i | \mathbf{e} \mathbf{r} | \varphi_v \rangle|^2 \\ \times \left| \langle \Psi_{\text{in},0}^{(pd)}(n_h) | d^+ | \Psi_{f,m}^{(pd)}(n_h - 1) \rangle \right|^2, \quad (5a)$$

а для спектра обращенной фотоэмиссии

$$W_m^{\text{IPES}} = |\langle \Psi_{\text{in}} | \mathbf{e} \mathbf{r} | \Psi_f^{(m)} \rangle|^2 = |\langle \varphi_i | \mathbf{e} \mathbf{r} | \varphi_v \rangle|^2 \\ \times \left| \langle \Psi_{\text{in},0}^{(pd)}(n_h) | d | \Psi_{f,m}^{(pd)}(n_h + 1) \rangle \right|^2. \quad (5b)$$

Одноэлектронный контур, определяемый членом  $|\langle \varphi_i | \mathbf{e} \mathbf{f} | \varphi_v \rangle|^2$ , можно рассчитывать любым неэмпирическим квантово-химическим методом [6], рассмотрение его не входит в задачу настоящей работы.

Энергии начального и конечного состояний равны

$$E_{\text{in}} = k\varepsilon_v + E_{\text{in},0}^{(pd)}, \quad E_{f,m} = h\varepsilon_v + E_{f,m}^{(pd)}(n_h \pm 1), \quad (6)$$

а энергия переходов есть

$$\hbar\omega = (h-k)\varepsilon_v + \Delta E_m, \quad \Delta E_m = E_{f,m}^{pd}(n_h \pm 1) - E_{\text{in},0}^{pd}. \quad (7)$$

В случае полупустой верхней зоны одноэлектронная часть энергии для PES и IPES отличается только знаком и соответствует или поглощению электромагнитного кванта (PES), или его испусканию (IPES). Относительное энергетическое смещение одноэлектронных контуров этих спектров на единой энергетической шкале будет определяться только получающимися по формуле (6) величинами  $\Delta E_m^{\text{PES}}$  (знак  $-$ ) и  $\Delta E_m^{\text{IPES}}$  (знак  $+$ ). Необходимо напомнить, что начальное состояние  $\text{La}_2\text{CuO}_4$  для обоих спектров одно и то же —  $\text{Cu}d^9$ , тогда как конечные состояния разные: для PES-процесса —  $\text{Cu}d^8$ , а для IPES —  $\text{Cu}d^{10}$ .

В наших многоэлектронных расчетах энергия основного однодырочного  $\text{Cu}d^9$ -состояния равна  $-2.03$  eV,  $\text{Cu}d^8$ -состояния —  $(-0.93$  eV), а для  $\text{Cu}d^{10}$ -состояния она, по определению, равна нулю. Таким образом, в соответствии с (7) shake-down-процесс смещает контур фотоэлектронного спектра примерно на 1 eV вниз по шкале энергии, что хорошо согласуется с рядом известных работ (см., например, [7,8]), а контур IPES — на 2 eV.

В родственном  $\text{La}_2\text{CuO}_4$  соединении — оксиде  $\text{CuO}$ , величина щели равна 1.4 eV [9]. Спектр обращенной фотоэмиссии поверхности  $\text{La}_2\text{CuO}_4$  смешен относительно фотоэлектронного спектра на 1 eV вниз, что и приводит к заплыванию щели между ними. Следовательно, заплывание энергетической щели между фотоэлектронным спектром и спектром обращенной фотоэмиссии поверхности  $\text{La}_2\text{CuO}_4$  также определяется эффектами сильных электронных корреляций.

Авторы благодарят Научный совет по проблеме ВТСП за поддержку в рамках проекта 95027 Государственной программы "Высокотемпературная сверхпроводимость" и Красноярский краевой фонд науки (грант № 5F0009).

## Список литературы

- [1] V.J. Emery. Phys. Rev. Lett. **58**, 2794 (1987).
- [2] C.M. Varma, S. Schmitt-Rink, E. Abrahams. Solid State Commun. **62**, 681 (1987).
- [3] Yu.B. Gaididei, V.B. Loktev. Phys. Stat. Sol. (b) **174**, 147 (1988).
- [4] B. Reihl, T. Reisesterer, J.D. Bednorz, K.A. Muller. Phys. Rev. **B35**, 8804 (1987).
- [5] С.Г. Овчинников. ФТТ **35**, 3, 617 (1993).
- [6] П.В. Аврамов, С.Г. Овчинников. ЖЭТФ **108**, 4, 1479 (1995).
- [7] L.F. Mattheis. Phys. Rev. Lett. **58**, 1028, (1987).
- [8] J. Redinger, J. Yu, A.J. Freeman. Phys. Lett. **A124**, 463 (1987).
- [9] M. Groni, M.T. Czyzyk, F.M. de Groot, J.C. Fuggle, B.E. Watts. Phys. Rev. **B39**, 4886 (1989).